

図 1-A VEGA-M3 宮崎実験'88 10/6

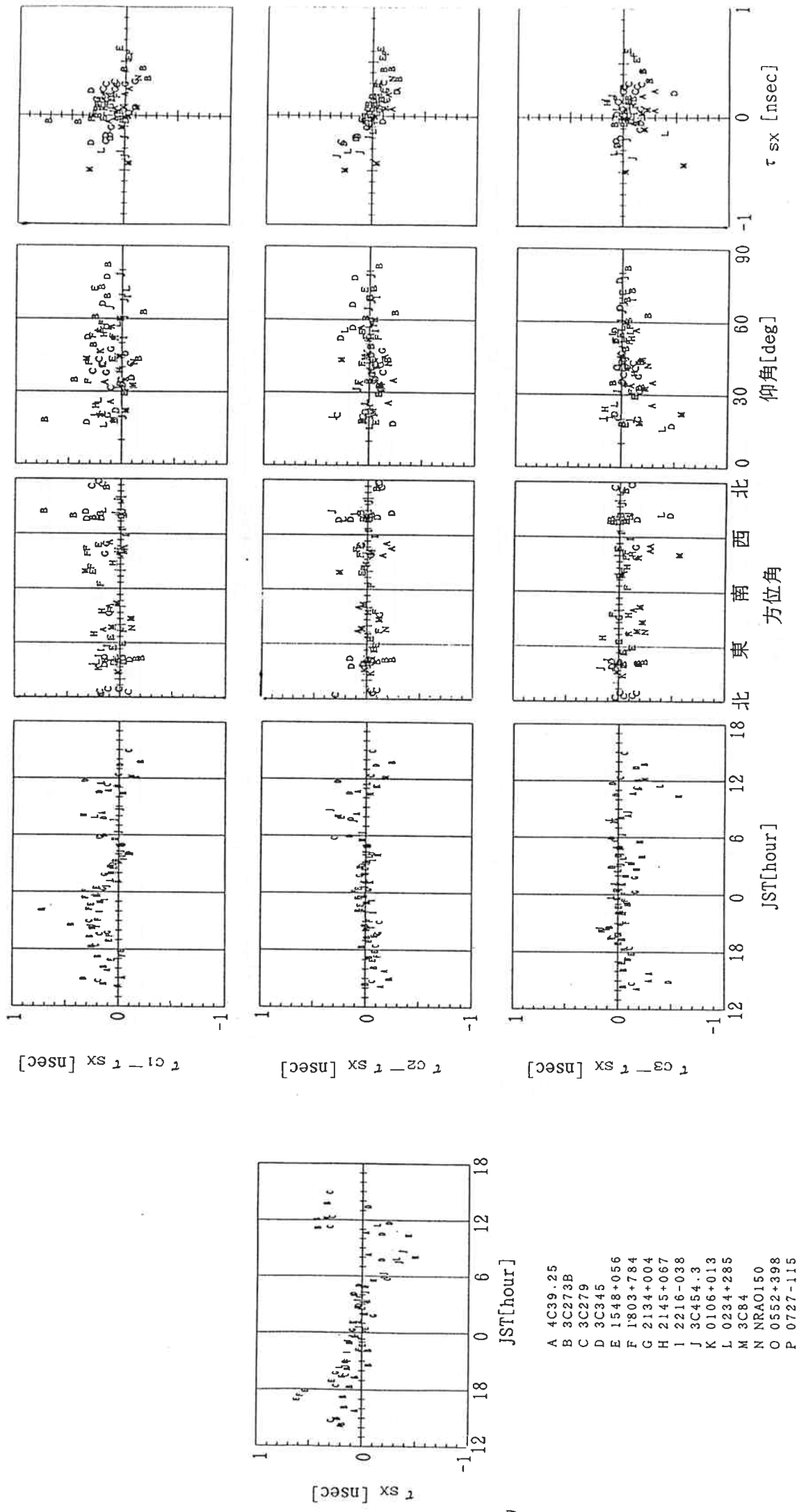


図 1 τ_{sx} の時間変化(左)。各補正方法による電離層遅延差(宮崎における電離層遅延量 - 鹿島における電離層遅延量)の推定値 τ_c と 2 周波受信法による電離層遅延差直接測定値 τ_{sx} の差(左から時間変化、方位角依存性、仰角依存性、 τ_{sx} との比較)。方位角仰角は宮崎観測点から見た値。上段から補正方法 1、2、3。図中のアルファベットは左下に示す各電波源に対応している。

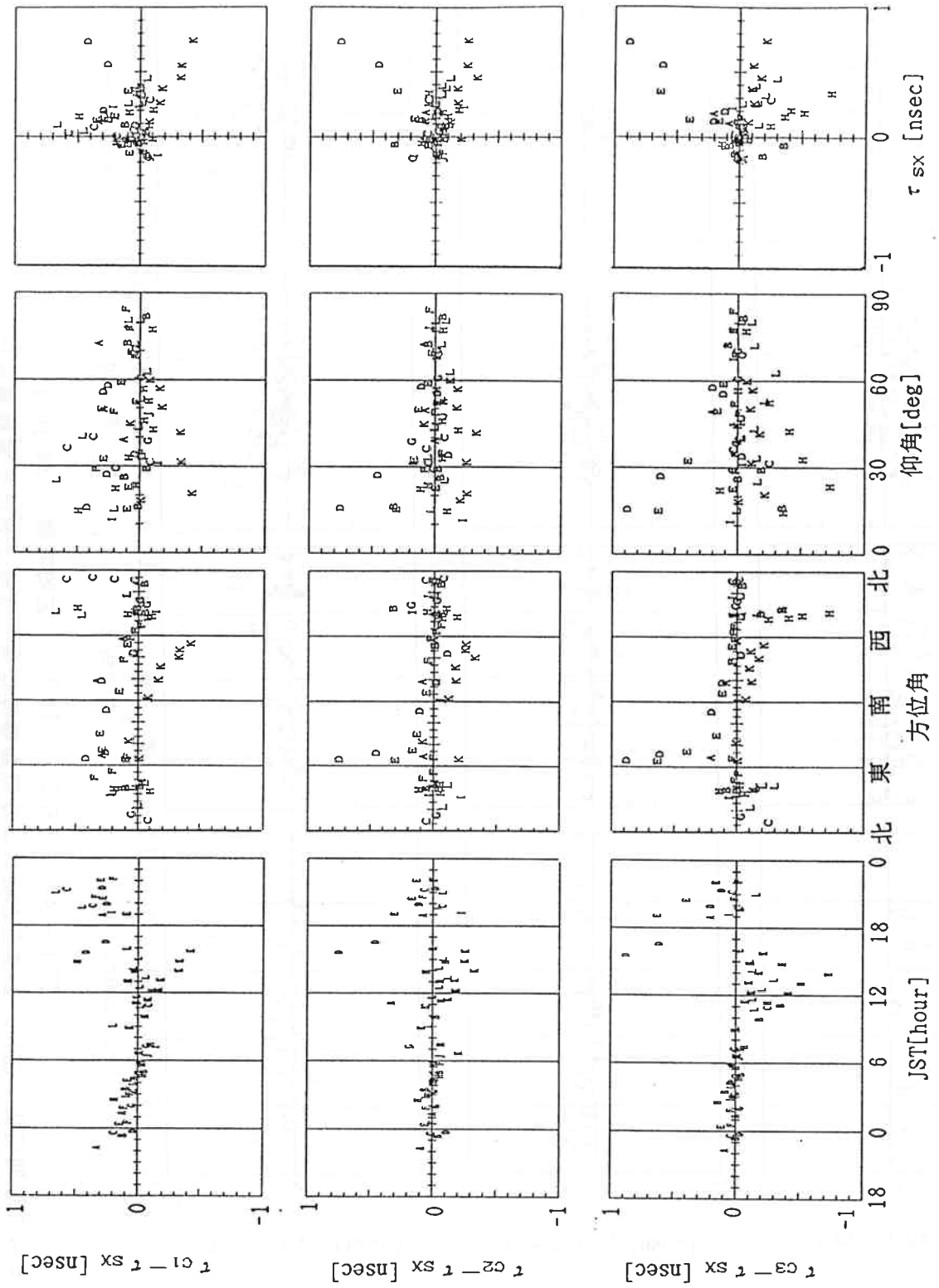
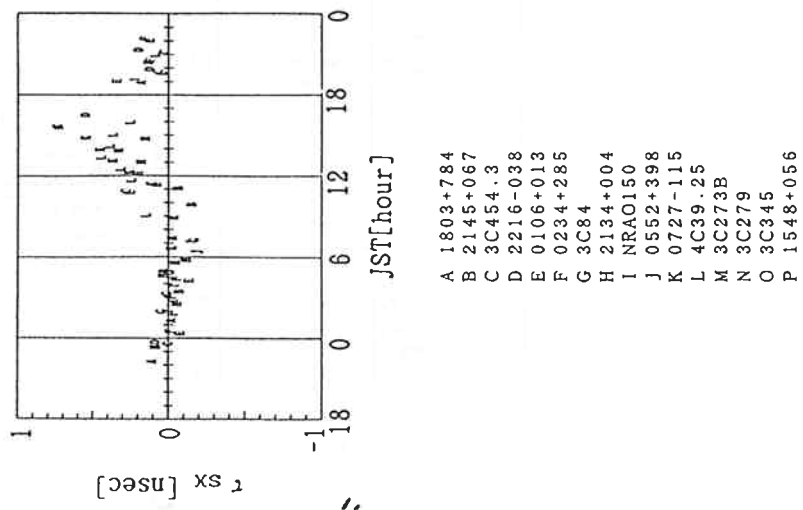


図1-B VEGA-M4 富嶽実験 '88 10/12



A	1803+784
B	2145+067
C	3C454.3
D	2216-038
E	0106+013
F	0234+285
G	3C84
H	2134+004
I	NR0150
J	0552+398
K	0727-115
L	4C39.25
M	3C273B
N	3C279
O	3C345
P	1548+056

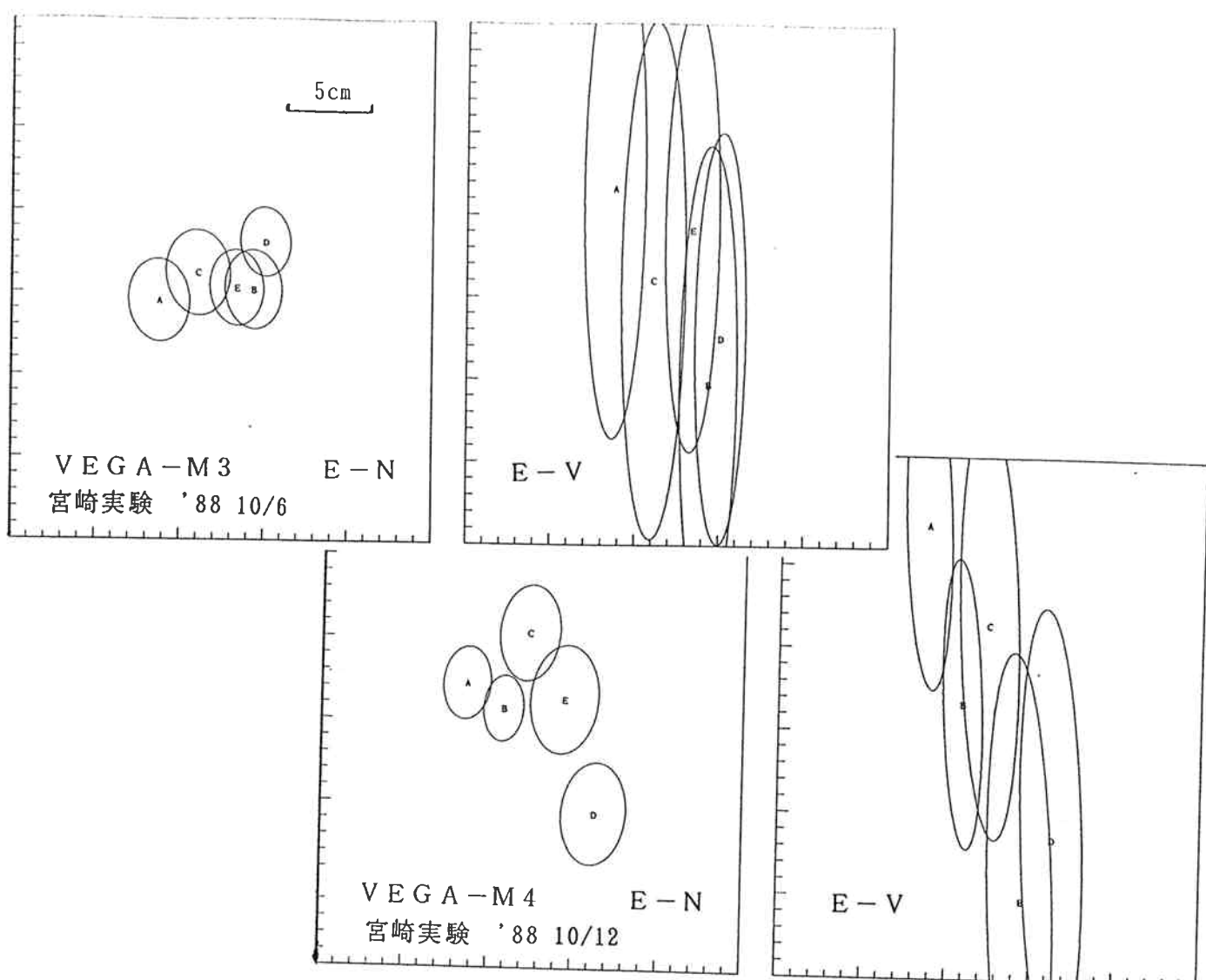


図2 各補正法による電離層遅延差補正をして基線解析を行って得た宮崎局の相対位置。
A:電離層補正なし B:2周波受信法 C:方法1 E:方法2 D:方法3
左図:水平成分(図の右方が東、図の上方が北)
右図:鉛直成分(図の右方が東、図の上方が上)

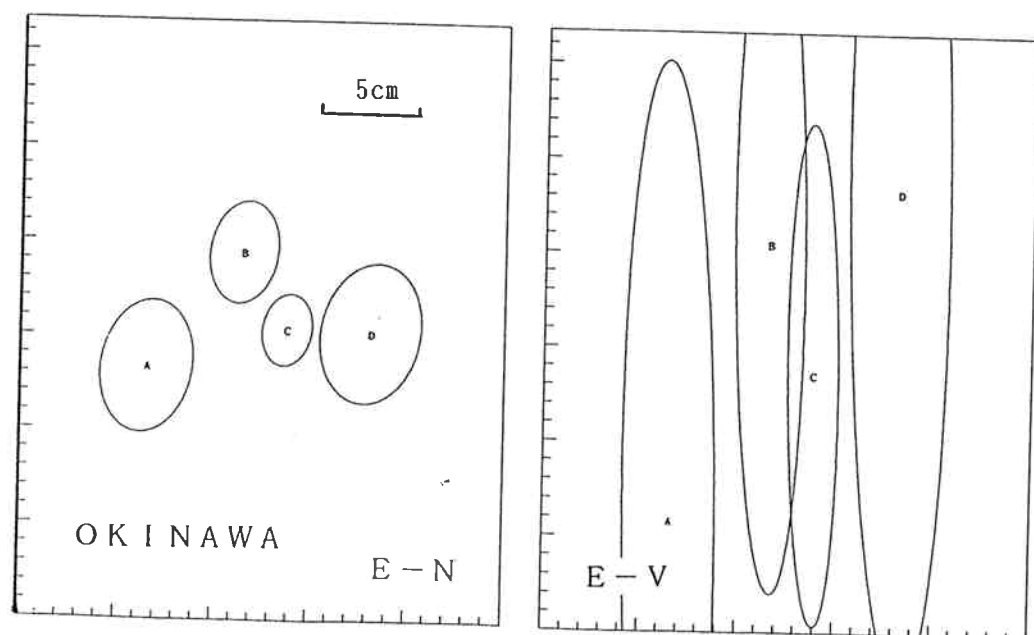


図3 各補正法による電離層遅延差補正をして基線解析を行って得た沖縄局の相対位置。
A:電離層補正なし B:方法1 D:方法2 C:方法3
左図:水平成分(図の右方が東、図の上方が北)
右図:鉛直成分(図の右方が東、図の上方が上)